

두메오리나무 잎의 플라보노이드 화합물

안경환 · 도상학 · 정동욱* · 김준식* · 조수민* · 이민원**

동덕여자대학교 약학대학, *중앙대학교 약학대학

(Received December 27, 1999)

Flavonoids from the Leaves of *Alnus Maximowiczii* Call

Kyung-Whan Ahn, Sang-Hak Toh, Dong-Wook Jeong*,
Jun-Sik Kim*, Su-Min Cho* and Min-Won Lee**

College of Pharmacy, Dong-Duk Woman's University Seoul 136-714, Korea

*College of Pharmacy, Chung-Ang University Seoul 156-756, Korea

Abstract — Phytochemical examination of the leaves of *Alnus maximowiczii* Call, one of the indigenous *Alnus* species grows in Korea, has led to the isolation of three flavonoids. Structure of these flavonoids were elucidated as quercetin-3-O-β-D-glucopyranoside (1), quercetin-3-O-α-L-rhamnopyranoside (2) and myricetin-3-O-α-L-rhamnopyranoside (3) respectively by means of physico-chemical and spectral evidences.

Keywords □ *Alnus maximowiczii* Call, flavonoids, NMR

자작나무과(科) Betulaceae의 오리나무속(屬, *Alnus* species)에 속하는 식물은 17종이상이 우리나라에 자생하는 것으로 알려졌다.¹⁻³⁾ 두메오리나무 (*Alnus maximowiczii* Call)는 우리나라의 경북 (울릉도), 강원, 함북, 평북에 나며 일본, 사할린, 우수리, 카마chat지역의 표고 100~2,300m의 골짜기나 하천유역에 자생하는 식물로써 낙엽활엽 소교목으로 높이 5~10m, 지름 30cm에 달하며 수피는 암갈색으로 갈라지고 소지는 밝은 갈색이며 피복이 많다. 잎은 넓은 난형 또는 난원형이고 길이 5~10 cm, 너비 4~9 cm이며 끝은 점차 뾰족해지고 밑은 둥글거나 심장형이며 불규칙하고 예리한 겹톱니가 있으나 표면은 짙은 녹색으로 광택이나고 뒷면은 얇은 녹색으로 점성이 있으며 맥을 따라 긴 연모가 있고 맥짬에 갈색 털이 있으며 측맥은 8~12쌍이고 엽병은 2~3.5 cm이다. 꽃은 자웅일가로 수꽃이삭은 드리우고 5~6월에 편다. 과실은 소견과로

타원형이고 8~9월에 성숙한다. 본종은 덤불오리나무에 비해 잎 밑이 깊이 들어가고 과수 (果穗)가 길며 (2~3 cm) 잎뒤에 점성이 있고 맥짬에 갈색 털이 있다.²⁾

민간 및 한방에서는 오리나무 *Alnus japonica*의 수피를 赤楊이라 부르며, 청열(淸熱), 강화(降火)하는 작용이 있어서 비출혈(鼻出血)등의 목적에 쓰였고, 설사 그외의 외상출혈 및 숙취등에도 응용한 것으로 나타나 있다.⁴⁾

*Alnus*속 식물에는 diarylheptanoid계열을 비롯한 Flavonoid, tannin등 폐놀성화합물이 함유된 것으로 알려져 있으며, 그 외 dammarane type의 triterpenoid도 주목을 받아왔다. 주로 diarylheptanoid에 대하여 비교적 많은 연구가 이루어졌으며,⁵⁻¹⁰⁾ flavonoid화합물에 대해서는 *A. pendula*의 꽃으로부터 pinocembrin, galangin, pinostrobin, pinosylvin등이 분리되었으며,¹¹⁾ *A. sieboldiana*에서 alnustinol 및 alnusin을¹²⁾ *A. glutinosa*로부터 quercetin 3-sophoroside가 보고되었으며,¹³⁾ *A. maximowiczii* Call로부터도 pinosylvin 및 pinocembrin등의 flavonoid 화합물이 보고된바 있다.⁸⁾

* 본 논문에 관한 문의는 이 저자에게로

(전화) 02-820-5602 (팩스) 02-822-9778

또한 본연구자들에 의하여 물오리나무 *Alnus hirsuta* Trucz 잎으로부터 (-)-epicatechin 및 quercetin glycoside류를 보고한바 있다.¹⁴⁾ 본 연구자는 *Alnus*속식물의 폐놀성화합물에 대한 연구의 일환으로 국내자생종 중의 하나인 두메오리나무 (*Alnus maximowiczii* Call)의 잎으로부터 flavonoid 화합물을 분리하고 그 화학구조의 규명을 시도하여 3종의 flavonoid를 분리하였으며 이들의 각종 이화학적 성상과 IR, UV, MS, NMR 등의 기기분석 자료를 해석하여 quercetin-3-O- β -D-glucopyranoside (1), quercetin-3-O- α -L-rhamnopyranoside (2) 및 myricetin 3-O- α -L-rhamnopyranoside (3)로 동정하였다. 이를 flavonoid 화합물은 두메오리나무잎에서는 처음으로 분리되었다.

실험

재료

본 실험에서 사용한 두메오리나무 (*Alnus maximowiczii* Call, 2 kg)의 잎은 1998년 7월 울릉도에서 야생하는 것을 채집하여 식물학적 검정을 거친 후 사용하였다.

기기 및 시약

Polarimeter : Jasco DIP-370 (Japan), IR spectrophotometer : Shimadzu IR-435 (Japan), KBr, ¹H-NMR spectrometer : Varian GEMINI 2000, 300 MHz (USA), ¹³C-NMR spectrometer : Varian GEMINI 2000, 75 MHz (USA), FAB MS spectrometer : VG70-VSEQ (England) FAB source : ionized by 35 keV Cs+ ion beam Matrix : Glycerol, TLC : Adsorbent; Kieselgel 60 F₂₅₄ (Merck, Germany), Cellulose (Sigma, USA), Solvent(v/v); CHCl₃: MeOH : H₂O = 6 : 4 : 1, 70 : 30 : 4, 2% Acetic acid, Detection; Ethanolic-FeCl₃ solution, 10%-H₂SO₄ in H₂O (heating), UV-lamp (254 nm), Chromatographic gels : Sephadex LH-20 (25~100 μ m, Sigma, USA), MCI-gel CHP-20P (75~150 μ m, Mitsubishi, Japan), YMC-gel ODS-A (230/70, 400/230, 500/400 mesh, YMC Co, Japan)

추출 및 물질의 단리

음건한 재료 2 kg을 절단하여 80% aq. Me₂CO로 실온에서 3회 추출하여 여과하였다. 그 추출액을 감압

농축한 후 H₂O에 혼탁하여 여과한 후 Sephadex LH-20 컬럼크로마토그라피 (gradient, H₂O→MeOH)를 실시하여 2개의 분획을 얻었다. fr.1을 YMC ODS-gel 컬럼크로마토그라피 (80% MeOH)를 실시하여 compound 2 (80 mg)을 얻었다. 또한, fr.2를 MCI-gel CHP-20P 컬럼크로마토그라피 (gradient, H₂O→MeOH)를 실시하여 fr. 2-1과 fr. 2-2로 나누었으며, 이중 fr. 2-1을 Sephadex LH-20 컬럼크로마토그라피 (gradient, H₂O→MeOH)와 YMC ODS-gel 컬럼크로마토그라피 (gradient, H₂O→MeOH)를 반복실시하여 compound 3(50 mg)를 얻었다. fr.2-2는 Sephadex LH-20 컬럼크로마토그라피 (80% EtOH)를 실시하여 compound 1(300 mg)을 얻었다.

Compound 1 – Yellow amorphous powder, $[\alpha]_D^{20}$: -10.5% (c=1.0, MeOH), IR_{max}^{KBr} cm⁻¹: 3369 (OH), 1655(C=O), 1607, 1508 (Aromatic C=C), 1301, 1201 (C-O), UV λ_{max} nm(MeOH) : 350 (1.08), 255 (1.56) nm, (MeOH+NaOMe) : 380 (0.99), 320 (0.74), 270 (1.73)nm, (MeOH+AlCl₃) : 420 (1.12), 275 (1.67)nm, (MeOH+AlCl₃+HCl) : 395 (0.86), 355 (0.77), 270 (1.50)nm, (MeOH+NaOAc) : 385 (0.93), 270 (1.71) nm, (MeOH+NaOAc+H₃BO₃) : 370(1.21), 260 (1.90) nm, Negative FAB MS (m/z) : 463 [M-H]⁺, 301 [M-glc]⁻, ¹H-NMR (300 MHz, DMSO-d₆) : 12.70 (1H, s, OH-5), 7.28 (1H, dd, J =8.4 Hz and 2.1 Hz, H-6), 6.89 (1H, d, J =8.4 Hz, H-5), 7.32(1H, d, J =2.1 Hz, H-2'), 6.42(1H, d, J =2.1 Hz, H-8), 6.23 (1H, d, J =2.1 Hz, H-6), 5.28 (1H, d, J =7.1 Hz, anomeric H), ¹³C-NMR(75 MHz, DMSO-d₆) : <Table 1>

Compound 2 – Yellow amorphous powder, $[\alpha]_D^{20}$: -9.76% (c=1.0, MeOH), IR_{max}^{KBr} cm⁻¹: 3315 (OH), 1654 (C=O), 1609, 1500 (Aromatic C=C), UV λ_{max} nm (MeOH) : 360 (0.94), 255 (1.18)nm, (MeOH+NaOMe) : 390 (0.85), 325 (0.55), 275 (1.27)nm, (MeOH+AlCl₃) : 425 (0.87), 275 (1.18)nm, (MeOH+AlCl₃+HCl) : 400 (0.77), 365 (0.63), 270 (1.08)nm, (MeOH+NaOAc) : 385 (0.78), 270 (1.23)nm, (MeOH+NaOAc+H₃BO₃) : 380 (1.03), 260 (1.36)nm, Negative FAB MS (m/z) : 447 [M-H]⁺, 301 [M-rhamnose]⁻, ¹H-NMR (300 MHz, DMSO-d₆) : 12.80 (1H, s, OH-5), 7.66 (1H, dd, J =8.4 Hz and 2.1 Hz, H-6'), 7.55 (1H, d, J =2.1 Hz, H-2'), 6.83 (1H, d,

Table I – ^{13}C -NMR data of compounds 1-3

carbon number	1	2	3
2	156.5	157.6	157.7
3	133.6	134.4	134.5
4	177.7	178.0	178.0
5	161.4	161.6	161.5
6	99.8	98.8	98.9
7	164.4	164.4	164.6
8	93.6	93.8	93.7
9	156.4	156.7	156.7
10	104.0	104.2	104.1
1'	121.2	120.9	119.8
2'	115.3	115.6	108.1
3'	145.0	145.4	146.0
4'	148.6	148.7	136.7
5'	116.1	115.8	146.0
6'	122.1	121.3	108.1
glc 1"	101.9		
2"	71.3		
3"	75.9		
4"	68.0		
5"	73.2		
6"	60.2		
rha 1"		102.0	102.1
2"		70.4	70.5
3"		70.7	70.6
4"		71.2	71.4
5"		70.1	70.1
6"		17.5	17.5

-75MHz, DMSO- d_6

$J=8.4$ Hz, H-5'), 6.41 (1H, d, $J=2.1$ Hz, H-8), 6.21 (1H, d, $J=2.1$ Hz, H-6), 5.38 (1H, d, $J=7.5$ Hz, anomeric H), 1.05 (3H in total, d, $J=6.1$ Hz, rha-CH₃), ^{13}C -NMR(75 MHz, DMSO- d_6) : <Table 1>

Compound 3 – Yellow amorphous powder, $[\alpha]_D^{20} : -50.6^\circ$ ($c=1.0$, MeOH), IR $\nu_{\text{max}}^{\text{KBr}}$ cm⁻¹: 3287 (OH), 1661 (C=O), 1613, 1512 (Aromatic C=C), 1317, 1245 (C-O), UV λ_{max} nm (MeOH) : 345 (0.44), 255 (0.56) nm, (MeOH+NaOMe) : 370(0.39), 330 (0.34), 270 (0.61)nm, (MeOH+AlCl₃) : 380 (0.31), 265 (0.55)nm, (MeOH+AlCl₃+HCl) : 400 (0.25), 345 (0.30), 270 (0.50)nm, (MeOH+NaOAc) : 385 (0.41), 270 (0.67)nm, (MeOH+NaOAc+H₃BO₃) : 365 (0.51), 260 (0.73)nm, Negative FAB MS (m/z) : 463 [M-H]⁺, ^1H -NMR (300 MHz, DMSO- d_6) : 6.87(2H, s, H-2', 6'), 6.35 (1H, d, $J=2.1$ Hz, H-8), 6.18(1H, d, $J=2.1$ Hz, H-6), 5.18 (1H, d, $J=7.1$ Hz, anomeric H), 0.81 (3H in total, d, $J=6.1$ Hz, rha-CH₃), ^{13}C -NMR(75 MHz,

DMSO- d_6) : <Table 1>

실험결과 및 고찰

Compound 1는 노란색 분말로 FeCl₃ 시액과 Mg+HCl 반응에 양성이며, IR spectrum에서는 3315 (OH), 1654 (C=O), 1608, 1508 (Aromatic C=C)등에서 강한 흡수대를 관찰할 수 있어 flavonoid계 배당체임을 알 수 있었다. UV spectrum에서는 MeOH용액에서 360, 255 nm의 흡수대가 나타나 flavonol유도체로 추정할 수 있었고, shift시약으로 NaOMe를 가했을때 325 nm에 새로운 흡수대가 나타나는 것으로 보아 C-7의 OH를 확인할 수 있었고, band I \ominus 390 nm로 30 nm 장파장쪽으로 이동하므로 B-ring에 4'-OH가 있으며, 또한 NaOAc+H₃BO₃을 넣었을때 band I \ominus 380 nm으로 19 nm 장파장 쪽으로 이동한 것으로 보아 B ring에 O-diOH가 결합되어 있음을 알 수 있었고, AlCl₃+HCl을 넣었을때 band I \ominus 400 nm으로 42 nm 장파장 쪽으로 이동하므로 5-OH를 확인 할 수 있었다. ^1H -NMR spectrum에서는 δ 5.38에서 당의 anomeric proton δ doublet ($J=7.1$ Hz)으로 나타났으며, A ring의 H-6, H-8은 meta coupling하여 그 시그널이 δ 6.21, 6.41에서 각각 1H의 doublet ($J=2.1$ Hz)으로 5,7 dihydroxylation pattern으로 나타났고, B ring은 ABX 타입으로 H-5'에 의한 시그널이 δ 6.83에서 doublet ($J=8.4$ Hz)으로, H-2'에 의한 시그널이 δ 7.96에서 doublet으로(2.1 Hz), H-6'에 해당하는 시그널이 δ 7.66에서 double-doublet ($J=8.4$, 2.1 Hz)으로 나타났다. 한편, ^{13}C -NMR spectrum에서 1은 quercetin골격에의한 peak를 나타내었고, 모핵인 quercetin과 비교했을 때 C-2, C-4가 각각 9.6 ppm, 1.4 ppm 저자장 shift되고, C-3 δ 133.5로 2.2 ppm 고자장 shift되는 것으로 보아 C-3에 당이 치환되어 glycosylation shift가 일어난 것을 알 수 있었다.¹⁵⁾ 또한 당에 해당하는 시그널은 δ 101.9, 71.3, 75.9, 68.0, 67.2, 60.2에서 관찰되어 당은 glucose임을 알 수 있었다.¹⁶⁾

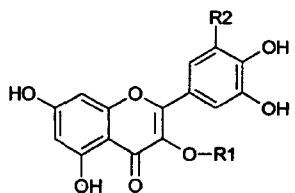
한편 Negative FAB MS spectrum을 통하여 m/z 463 [M-H]⁺, 301 [M-glucose]⁻ 피크를 관찰할 수 있었다. 이상의 기기분석 결과와 해석과 표품의 문현의 data를 비교하여 Compound 1은 quercetin의 C-3에

glucose가 결합되어 있는 quercetin-3-O- β -D-glucopyranoside로 동정하였다.¹⁷⁾

Compound 2는 노란색 분말로 FeCl_3 시액과 $\text{Mg}+\text{HCl}$ 반응에 양성이며, IR spectrum에서는 3368 (OH), 1655 (C=O), 1603, 1508 (Aromatic C=C) 및 1301, 1201 (C=O)등에서 강한 흡수대를 관찰할 수 있어 flavonoid계 배당체임을 알 수 있었다. UV spectrum에서는 MeOH용액에서 350, 255 nm의 흡수대가 나타나 flavonol유도체로 추정할 수 있었고, shift 시약으로 NaOMe를 가했을 때 320 nm에 새로운 흡수대가 나타나는 것으로 보아 C-7의 OH를 확인할 수 있었고, band I α 380 nm로 30 nm 장파장쪽으로 이동하므로 B-ring에 4'-OH가 있으며, 또한 $\text{NaOAc}+\text{H}_3\text{BO}_3$ 을 넣었을 때 band I α 370 nm으로 20 nm 장파장 쪽으로 이동한 것으로 보아 B ring에 O-diOH가 결합되어 있음을 알 수 있었고, AlCl_3+HCl 을 넣었을 때 band I α 395 nm으로 35 nm 장파장 쪽으로 이동하므로 5-OH를 확인 할 수 있었다. $^1\text{H-NMR}$ spectrum에서는 δ 5.28에서 당의 anomeric proton α doublet ($J=7.1 \text{ Hz}$)으로 나타났으며, A ring의 H-6, H-8은 meta coupling하여 그 시그널이 δ 6.28, δ 6.42에서 각각 1H의 doublet ($J=1.8 \text{ Hz}$)으로 5,7 dihydroxylation pattern으로 나타났고, B ring은 ABX 타입으로 H-5에 의한 시그널이 δ 6.89에서 doublet ($J=8.4 \text{ Hz}$)으로, H-2'에 의한 시그널이 δ 7.32에서 doublet으로 ($J=2.1 \text{ Hz}$), H-6'에 해당하는 시그널이 δ 7.28에서 double-doublet ($J=8.4, 2.1 \text{ Hz}$)으로 나타났다. 또한 δ 1.05에서 rhamnose의 CH_3 에 의한 doublet signal ($J=6.1 \text{ Hz}$)이 나타났고, anomeric 수소는 δ 5.38에서 singlet으로 나타나 α 결합한 rhamnose임을 알 수 있었다. 한편, $^{13}\text{C-NMR}$ spectrum에서 2는 quercetin골격에의한 peak를 나타내었고, 모핵인 quercetin과 비교했을 때 C-2, C-4가 각각 8.8 ppm, 1.1 ppm 저자장 shift되고, C-3이 δ 134.4로 2.9 ppm 고자장 shift되는 것으로 보아 C-3에 당이 치환되어 glycosylation shift가 일어난 것을 알 수 있었다.¹⁵⁾ 또한 당에 해당하는 시그널은 δ 102.0, 70.4, 70.7, 71.2, 70.1, 17.5에서 관찰되어 당은 rhamnose임을 알 수 있었다.¹⁶⁾ 한편 Negative FAB MS spectrum을 통하여 m/z 447 [$\text{M}-\text{H}$]⁺피크와 301 [$\text{M}-\text{rhamnose}$]⁻를 관찰할 수 있다. 이상의 기기분석 결과로 Compound 2는 quercetin의 C-3에 rhamnose가 결합

되어 있는 quercetin-3-O- α -L-rhamnopyranoside임을 알 수 있었다.¹⁶⁾

Compound 3는 노란색 분말로 FeCl_3 시액에서 양성으로 나타났으며, $\text{Mg}+\text{HCl}$ 반응에도 양성이었다. IR spectrum에서는 3287 (OH), 1661 (C=O), 1613, 1512 (Aromatic C=C) 그리고 1317, 1245 (C-O)등에서 강한 흡수대를 관찰할 수 있어 flavonoid계 배당체임을 알 수 있었다. UV spectrum에서는 MeOH용액에서 345, 255 nm의 흡수대가 나타나 flavonol유도체로 추정할 수 있었고, shift 시약으로 NaOMe를 가했을 때 330 nm에 새로운 흡수대가 나타나는 것으로 보아 C-7의 OH를 확인할 수 있었고, band I α 370 nm로 25 nm 장파장쪽으로 이동하므로 B-ring에 4'-OH가 있으며, 또한 $\text{NaOAc}+\text{H}_3\text{BO}_3$ 을 넣었을 때 band I α 365 nm으로 20 nm 장파장 쪽으로 이동한 것으로 보아 B ring에 O-diOH가 결합되어 있음을 알 수 있었고, AlCl_3+HCl 을 넣었을 때 band I α 400 nm으로 55 nm 장파장 쪽으로 이동하므로 5-OH를 확인 할 수 있었다. $^1\text{H-NMR}$ spectrum에서는 δ 5.18에서 당의 anomeric proton α doublet ($J=7.1 \text{ Hz}$)으로 나타났으며, A ring의 H-6, H-8은 meta coupling하여 그 시그널이 δ 6.18, 6.35에서 각각 1H의 doublet ($J=1.8 \text{ Hz}$)으로 5,7 dihydroxylation pattern으로 나타났고, B ring은 H-2', 6'에 의한 2H에 해당하는 singlet시그널이 나타나 B-ring은 3', 4', 5'-oxygenation pattern으로 나타나 이화합물의 모핵은 myricetin임을 알 수 있었다. 또한 δ 0.81에서 rhamnose의 CH_3 에 의한 doublet signal ($J=6.1 \text{ Hz}$)이 나타났고, anomeric 수소는 δ 5.18에서 singlet으로 나타나 α 결합한 rhamnose임을 알 수 있었다. 한편, $^{13}\text{C-NMR}$ spectrum에서 3은 myricetin골격에의한 peak를 나타내었고, 모핵인 myricetin과 비교했을 때 C-2, C-4가 각각 8.7 ppm, 2.3 ppm 저자장 shift되고, C-3이 δ 134.5로 1.1 ppm 고자장 shift되는 것으로 보아 3번위치에 당이 치환되어 glycosylation shift가 일어난 것을 알 수 있었다.¹⁵⁾ 또한 rhamnose에 의한 시그널이 δ 102.1, 70.5, 70.6, 71.4, 70.1, 17.5에서 관찰되었다. 한편 Negative FAB MS spectrum을 통하여 m/z 463 [$\text{M}-\text{H}$]⁺피크를 관찰할 수 있다. 이상의 기기분석 결과와 문헌과의 비교로 Compound 3은 myrcetin의 C-3에 rhamnose가 결합되어 있는 myricetin-3-O- α -L-rhamnopyranoside로 동정하였다.¹⁷⁾



	R ₁	R ₂
1	glucose	H
2	rhamnose	H
3	rhamnose	OH

결 론

오리나무 *Alnus* 속식물은 최근 알코올해독, 항암작용등의 약효가 언급되고 있어서 주목받고 있는 유용한 자원식물이 되고 있다.¹⁸⁻¹⁹⁾ *Alnus* 속식물에 대한 폐놀성화합물의 분리와 구조결정연구의 일환으로 우리나라의 자생종중의 하나인 두메오리나무 (*Alnus maximowiczii* Carr.)의 잎으로부터 폐놀성화합물에 대한 천연물 화학적 연구를 시도하여 3종의 flavonoid 화합물을 분리하였으며 각각, quercetin-3-O-β-D-glucopyranoside (1), quercetin-3-O-α-L-rhamnopyranoside (2) 및 myricetin-3-O-α-L-rhamnopyranoside (3)로 동정하였다. 이 화합물들은 본 식물에서는 처음으로 분리되었다.

감사의 말씀

이 논문은 기초과학교육연구 공동기기원의 NMR 및 MS기기를 이용하여 분석한 결과이며 이에 감사드립니다.

문 헌

- 1) Lee, Y. N.: 원색한국식물도감, p63 (1997).
- 2) Lee, W. C.: 원색한국기준식물도감, p51 (1996).
- 3) Joeng, T. H.: 한국식물도감, p61 (1974).
- 4) 中藥大辭典 (3권), 小學館, p3042 (1985).
- 5) Terazawa, M., Okuyama, H. and Miyake, M.: Isolation of Hirsutanonol and Hirsutenone, Two new diarylheptanoids from the green bark of keyarnahan-

- noki, *Alnus hirsuta* Turcz. *Mokuzai gakkaish*, **19**, 45 (1973).
- 6) Karches, J. J. and A. Laever, M. L.: Structure of oregonin, a Natural Diarylheptanoid Xyloside. *J. C. S. Chem. comm.* 649 (1974).
 - 7) Lee, M. W., Tanaka, T., Nonaka, G. and Nishioka, I.: Hirsunin, an ellagitannin with a diarylheptanoid moiety from *Alnus hitsuta* var. *microphylla*, *Phytochemistry*, **31**, 967 (1992).
 - 8) Tori, M., Hashimoto, A., Hirose, K. and Asakawa, Y.: Diarylheptanoids, flavonoids, stilbenoids, sesquiterpenoids and a phenanthrene from *Alnus maximowiczii*. *Phytochemistry*, **40**, 1263 (1995).
 - 9) Wada, H., Tachibana, H., Fuchino, H. and Tanaka, N.: Three new diarylheptanoid glycosides from *Alnus japonica*, *Chem. Pharm. Bull.* **46**, 1054 (1998).
 - 10) Gonzalez-Laredo, R. F., Chem, J., Karchesy, Y. M. and Karches, J. J.: Four New Diarylheptanoid Glycosides from *Alnus Rubra* Bark, *Nat. Prod. Lett.*, **13**, 75 (1999). constitutive, nitric oxide synthase, *Biochem. J.* 303, 289 (1994).
 - 11) Suga, T., Iwata, N. and Asakawa, Y.: Chemical constituents of the male Flower of *Alnus pendula* (Betulaceae), *Bull. Chem. Soc. Jpn.* **45**, 2058 (1972).
 - 12) Asakawa, Y.: Chemical constituents of *Alnus sieboldiana* (Betulaceae) II. The isolation and structure of flavonoids and stilbenes. *Bull. Chem. Soc. Japan*, **44**, 2761 (1971).
 - 13) Stikhin, V. A., Ban'kovskii, A. I., Glyzin, V. I. and Kir'yanova, I. A.: Quercetin-3-sophoroside from *Alnus glutinosa* and *Fraxinus lanceolata* pollens. *Chem. Nat. Comp.* **10**, 526 (1974).
 - 14) Lee, M.-W., Jeong, D.-W., Lee, Y.-A., Park, M.-S. and Toh, S.-H.: Flavonoids from the Leaves of *Alnus hirsuta*, *Yakhak Hoeji*, **43**, 547 (1999).
 - 15) Harbone, J. B. and Mabry, T. T.: The Flavonoids Advances in Research, Chapman and Hall, London. New York, p39 (1982).
 - 16) Agrawal, P. K.: Carbon-13 NMR of Flavonoids. Elsevier, New York, p336 (1989).
 - 17) Lee, M. W.: Flavonoids from the Leaves of *Betula platyphylla* var. *latifolia*, *Kor. J. pharmacogn.* **25**, 199-203 (1994).

- 18) Bae, C. I., Gong, J. M., Oh, J. W., Kim, H. J., Oh, G. J., Park, S. K., Chung, S. G. and Cho, E. H. : Studies on the cytotoxic constituent of *Alnus hirsuta* (Spach) RupR. *Yakhak Hoeji*, **41**, 559 (1997).
- 19) Lee, D. I., Chang, J. K., Lee, M. W. and Hong, S. G. : Effects of Oregonin, diarylheptanoid derivative from plant on antitumor, *Chung-Ang J. Pharm. Sci.* **12**, 67 (1998).